

УДК 372.85: 535.376: 546.21

## Полевая электронная эмиссия из пьезоактивного $\text{SiO}_2$

А. А. Дадыкин, А. Г. Наумовец, П. П. Горбик, И. В. Дубровин, В. М. Огенко

Институт физики НАН Украины, пр. Науки, 46, 03028, Киев, Украина.

Институт химии поверхности НАН Украины, ул. Генерала Наумова, 17, 03164, Киев, Украина

При средних электрических полях  $E < 10^5 \text{ В/см}$  получена и исследована стационарная холодная электронная эмиссия из образцов  $\text{SiO}_2$ , обладающего заметной пьезоэлектрической активностью. Эмиссия стабильна при  $p > 10^{-5} \text{ Торр}$  и характеризуется плотностью тока  $j > 10 \text{ А/см}^2$ . В случае заведомо непьезоактивных образцов из плавленного кварца и сапфира эмиссии не зарегистрировано даже при  $E > 10^7 \text{ В/см}$ . Результаты объясняются большим ( $> 100$ ) усилением электрического поля у торцов пленок пьезоэлектриков, вследствие чего внутренние поля в приповерхностной области достигают значений  $\sim 10^7 \text{ В/см}$ , достаточных для развития эффекта Зинера.

### Введение

Согласно классической теории автоэмиссии из металлов и полупроводников для получения измеримых токов необходимы электрические поля у поверхности эмиттеров  $E > 10^7 \text{ В/см}$ . Однако в ряде опытов зарегистрировано появление электронной эмиссии при  $E < 10^5 \text{ В/см}$ , оцениваемых из макропропорции электродов (так называемая НПЭ – низкопольная электронная эмиссия). Экспериментально установлено, что появление НПЭ не удается объяснить ни простым геометрическим усилением электрического поля над микровыступами поверхности, ни локальным понижением работы выхода, ни предполагаемым в случае алмаза наличием на эмиттирующей поверхности участков с естественным отрицательным электронным сродством (ОЭС).

В [1] прямыми опытами установлено, что основная, практически безинерционная ( $\tau < 10^{-7} \text{ с}$ ), компонента НПЭ связана с наличием на эмиттирующей поверхности пленочных диэлектрических образований с большим отношением продольных размеров к толщине. Визуальные наблюдения и вторично-ионная масс-спектрометрия показали, что образования состоят из продуктов распыления катодолюминесценций типа  $\text{ZnS}$  с анода-экрана экспериментальной диодной ячейки, либо из оксидов типа  $\text{SiO}_2$ , остающихся при химическом

вытравливании катодов. И двуокись кремния, и катодолюминесценции, как известно, являются хорошими пьезоэлектриками. В связи с этим было высказано наше предположение, что в результате деформаций в электрическом поле на торцах пьезоэлементов возникают контактные электрические поля, превышающие  $10^7 \text{ В/см}$ . При таких внешних полях в приповерхностной области эмиттеров, в случае малых диэлектрических постоянных (у пьезоэлектриков  $\epsilon \sim 5$ ), внутренние поля также достигают значений  $10^6$ – $10^7 \text{ В/см}$ , при которых возможен эффект Зинера и электроны могут выходить в вакуум непосредственно из валентной зоны пьезоэлектрика. Очевидно, что для реализации такой ситуации необходимо достаточное совершенство образцов – основное требование к технологии изготовления пьезоэлектриков.

Интересно проследить связь НПЭ с пьезоэффектом на примере образцов из диоксида кремния, которые сравнительно легко могут быть приготовлены в виде стекол, керамики, текстур и монокристаллов с резко различающейся пьезоэлектрической активностью. Вместе с тем, вследствие непревзойденной температурной и времененной стабильности параметров диоксида кремния практически важна разработка технологий изготовления полевых эмиттеров на его основе. Предварительные опыты показали,

что плотность тока из кварцевого катода превышает  $10 \text{ A/cm}^2$  (лучшие оксидно-бариевые катоды дают  $\sim 1 \text{ A/cm}^2$ ) и такие катоды могут быть использованы при изготовлении ярких плоских катодолюминесцентных панелей – дисплеев.

### Методика измерений и экспериментальные образцы

Приборы выполнены в виде автоэлектронных проекторов Мюллера для исследования эмиссии с отдельных участков острый и диодных ячеек с плоскими катодами и анод-экранами, покрытыми катодолюминофорами типа ZnS для визуализации эмиссии. Расстояния катод-анод обычно были  $\sim 100 \text{ мкм}$ , а рабочие напряжения несколько кВ, так что средние электрические поля в ячейке доходили до  $10^6 \text{ В/см}$ . При таких полях в пьезоактивных пленках возникают механические напряжения, значительно превосходящие электрострикционные, приводящие к разрушению катодолюминофора и загрязнению катода. В связи с этим были разработаны и подготовлены методом испарения в квазизамкнутом объеме пленочные катодолюминофоры ZnS:CdS с хорошей адгезией, выдерживающие без заметного разрушения электронные потоки свыше  $1 \text{ Вт/см}^2$ . Эффективность катодолюминесценции при напряжении 400 В была около 3 Лм/Вт, что сравнимо с эффективностью низковольтных порошковых люминофоров типа ZnO:Zn.

Объектами исследований были: 1) оксидные пленки на поверхности кремниевых острий, полученные обработкой заготовок в азотной кислоте; 2) субмикронные слои  $\text{SiO}_2$ , образованные при электроадсорбции кислорода на кремнии при  $E \sim 10^6 \text{ В/см}$ ; 3) недотравленные “грибообразные”  $\text{SiO}_2/\text{Si}$  структуры, полученные при изготовлении многоострийных кремниевых катодов; 4) многоэлементные матричные структуры из текстурированного  $\text{SiO}_2$ , полученные доокислением на воздухе  $\text{SiO}$ , нанесенной через маски на металлизированные стеклянные пластины; 5) моноцисталические кварцевые пластины (пьезорезонансные кварцевые датчики промышленного производства); 6) кварцевые и сапфировые стекла.

### Экспериментальные результаты

Автоэмиссионное изображение кремниевого острия с атомарно чистой вершиной и трудноиспаряемой окисной пленкой у его подножия

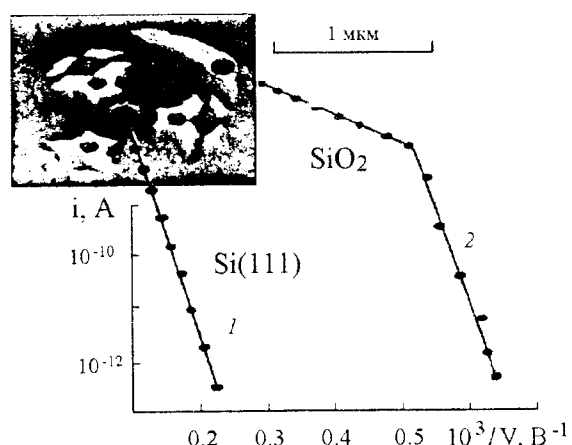


Рис. 1. Автоэмиссионные характеристики полевой эмиссии из атомарно чистой грани (111) кремния – (1) и из оксидного образования у подножия острия – (2).

приведено на рис. 1. Автоэмиссионные характеристики в координатах  $lg i = f(1/V)$  (FN характеристики) разных участков острия резко отличаются и качественно, и количественно. Ток с пленки у подножия острия ( $E \sim 10^5 \text{ В/см}$ ) на много порядков превышает ток с грани (111) на вершине ( $E > 10^7 \text{ В/см}$ ), а FN характеристика эмиссии имеет четко выраженный излом, отражающий различия в механизмах эмиссии с разных участков эмиттера.

Трансформация FN характеристик по мере окисления кремниевого острия с атомарно чистой поверхностью путем электроадсорбции кислорода при  $E \sim 10^6 \text{ В/см}$  представлена на рис. 2. Излом появляется при формировании сплошной окисной пленки толщиной  $\sim 500 \text{ Å}$ . Особенno интересны эмиссионные свойства “грибообразной” системы

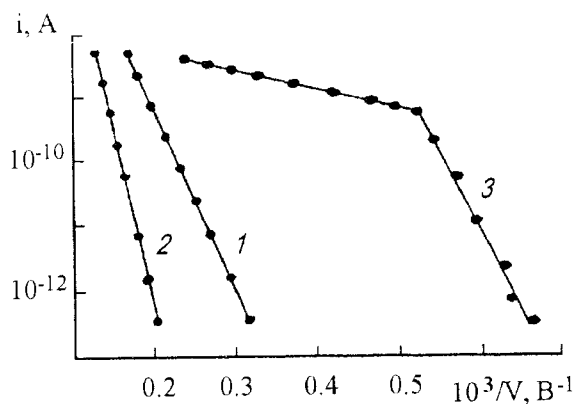


Рис. 2. Трансформация характеристик полевой эмиссии Si-катода по мере электроадсорбции кислорода: 1 – атомарно чистая поверхность, 2 – монослой кислорода, 3 – при толщине пленки  $\text{SiO}_2 \sim 500 \text{ Å}$ .

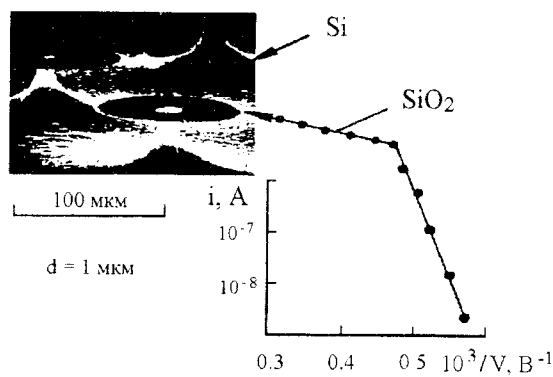


Рис. 3. Характеристика полевой эмиссии с торца оксидной пленки на кремниевой ножке "грибообразного" эмиттера.

$\text{SiO}_2/\text{Si}$  (рис. 3). Эмиссия наблюдается из краев оксидных "шляпок", а полностью вытравленные острия с удаленными шляпками не эмиттируют.

Геометрия эмиттирующих элементов отличается большим отношением продольных размеров к толщине и легко может быть воспроизведена в пленочном варианте. Пленочные элементы в виде матриц из текстурированного  $\text{SiO}_2$  различной формы и размеров приготовлены доокислением  $\text{SiO}$  на воздухе при  $T \sim 700$  К. В матрице с элементами разных размеров эмиссия наблюдалась из краев элементов с наибольшими размерами.

Так как установлено, что для НПЭЭ существенны не абсолютные размеры элементов, а их соотношения, были опробованы элементы сантиметровых размеров. Для этого были использованы монокристаллические кварцевые пьезорезонансные датчики (рис. 4) с металлическими электродами для подачи поляризующего напряжения. В отсутствие поляризующего напряжения эмиссия не обнаружено до значений электрического поля у поверхности пьезоэлемента, превышающего  $10^6$  В/см. С подачей поляризующего напряжения уже при поле поляризации  $<10^5$  В/см зарегистрирована стационарная электронная эмиссия с торцов пьезоэлемента в направлении одной из электрических осей кварца. Эмиссионное изображение пьезоэлемента на аноде-экране, покрытом  $\text{ZnS}$  катодолюминофором, показано на рис. 4.

С переменой полярности напряжения на электродах эмиссия наблюдается в направлении другой электрической оси, повернутой на  $120^\circ$ . При изменении величины поляризующего напряжения изображение плавно поворачивается в плоскости пьезоэлемента, что свидетельствует о наличии сдвиговой пьезополяризации.

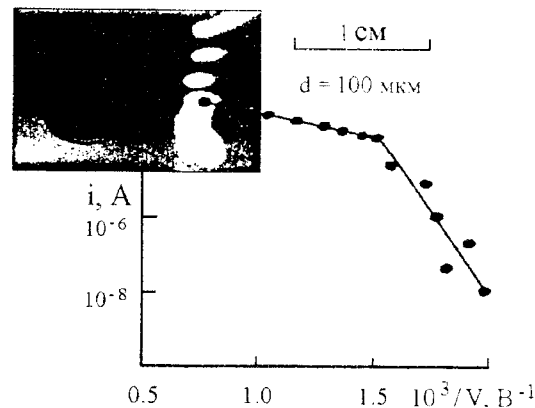


Рис. 4. Характеристика полевой эмиссии с торца кварцевого пьезорезонатора при напряжении на аноде-экране 2 кВ.  $V_p$  – поляризующее напряжение на обкладках резонатора.

FN-характеристика, как и во всех вышеупомянутых случаях, имеет излом, а плотность тока, оцененная из геометрии образца, превышает  $10 \text{ A}/\text{см}^2$ . В случае образцов, изготовленных из заведомо непьезоактивных плавленного кварца и сапфира, эмиссия не обнаружена даже при поляризующих полях  $>10^6$  В/см. Обращает на себя внимание высокая стабильность НПЭЭ в области больших эмиссионных токов даже при  $p \sim 10^{-5}$  Торр, что важно для практических приложений.

Простое объяснение полученных результатов следует из рис. 5, а. Пьезоэлемент в виде пластины размерами  $l$  и толщиной  $d$  в поляризующем поле  $E_p$  деформируется так, что торцы и боковые поверхности оказываются под различными потенциалами, пропорциональными абсолютным деформациям. При этом отношение потенциалов

$$V/V_p = \sigma \Delta l / \Delta d, \quad (1)$$

где  $\sigma$  – коэффициент Пуассона. Возникающее у торца контактное поле может быть оценено из соотношения

$$E \sim (V - V_p)/d = 4\pi k^2 \sigma l/d \cdot E_p = \Pi E_r, \quad (2)$$

где  $k$  – коэффициент электромеханической связи. В условиях опытов  $\sigma \sim 0.5$ ;  $k \sim 0.5$ ;  $l/d \sim 10^3$ , так что  $\Pi > 100$ . Это значит, что поле  $E$  может превышать  $10^7$  В/см при поляризующем поле  $E_p \sim 10^5$  В/см. При этом внутреннее поле  $E_r$  при малых  $\varepsilon$  может достигать значений  $10^7$  В/см, достаточных для развития внутреннего пробоя (эффекта Зиннера), а на поверхности эмиттера с проникновением

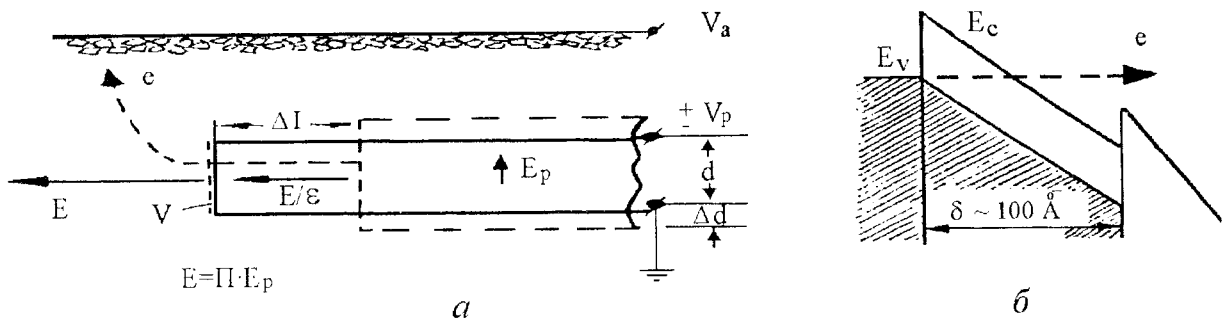


Рис. 5: а – к механизму пьезогеометрического усиления электрического поля у торца пьезоэлемента.  $\Pi$  – фактор пьезогеометрического усиления; б – энергетическая схема пьезополевой эмиссии в области больших эмиссионных токов.

поля внутрь реализуются условия эффектного ОЭС. Энергетическая схема полевого эмиттера в такой ситуации показана на рис. 5, б. Такая модель эмиттера объясняет и ход FN характеристики и высокую стабильность эмиссии при больших токах; при малых напряжениях эмиссия ограничивается потенциальным барьером на границе с вакуумом и появляются значительные флюктуации тока из-за адсорбции остаточных газов, а при больших – источник электронов (валентная зона) становится скрытым от внешней среды защитной пленкой пьезоэлектрика.

Результаты работы могут быть положены в основу создания дешевых технологий изготовления стабильных даже при  $p > 10^{-6}$  Торр низкополевых источников электронов различного назначения.

Работа выполнена при финансовой поддержке Министерства Украины по науке и технологиям (проект 5.1.04453).

## Література

- Дадыкин А. А. // Письма в ЖЭТФ.– 1997.– 65, № 11, с. 823–827.

Получено 26.06.98

## Польова електронна емісія з п'єзоактивного $\text{SiO}_2$

А. А. Дадикін, А. Г. Наумовець, П. П. Горбик, І. В. Дубровін, В. М. Огіенко

При середніх електрических полях  $E < 10^5 \text{ В/см}$  одержана стаціонарна ходова електронна емісія зі зразків  $\text{SiO}_2$ , який має досить високу п'єзоелектричну активність. Емісія стабільна навіть при  $p > 10^{-5}$  Торр і відрізняється високою ( $j > 10 \text{ A/cm}^2$ ) густинною струму. У випадку неп'єзоактивних зразків з плавкого кварцу та сапфіру емісію не зареєстровано, навіть при  $E > 10^6 \text{ В/см}$ . Результати пояснюються великим ( $> 100$ ) підсиленням електричного поля біля торців піловок п'єзоелектриків, внаслідок чого внутрішні поля в притоверхневій області досягають значень  $\sim 10^7 \text{ В/см}$ , достатніх для розвитку ефекту Зінера.

## Field electron emission from piezoactive $\text{SiO}_2$

A. A. Dadykin, A. G. Naumovetz, P. P. Gorbic, I. V. Dubrovin, V. M. Ogenko

We have obtained and studies a stationary electron emission under average electric fields  $E < 10^5 \text{ V/cm}$  from specimens of  $\text{SiO}_2$  possessing a marked piezoelectric activity. The emission is stable even for  $p > 10^{-5}$  Torr and is characterized by a density of current  $j > 10 \text{ A/cm}^2$ . The emission is not registered even for  $E > 10^6 \text{ V/cm}$  if specimens are made from nonpiezoelectric fused quartz and sapphire. The results are explained by a great ( $> 100$ ) amplification of electric field near edges of piezoelectrical films, owing to which internal fields in the near-surface region attain the values of  $\sim 10^7 \text{ V/cm}$  that is sufficient for development of Zener effect.